

УДК 521.96

**В. Я. Чолій**

Київський національний університет імені Тараса Шевченка  
вул. Володимирська 60, Київ, 03601 МСП  
Головна астрономічна обсерваторія Національної академії наук України  
вул. Академіка Заболотного 27, Київ, 03680 МСП  
e-mail: charlie@mao.kiev.ua

### **Оцінка точності та прогноз параметрів обертання Землі методом сингулярного спектрального аналізу**

*Представлено результати моделювання, оцінку точності та прогноз рядів координат полюса та всесвітнього часу (UT1 – UTC) методом сингулярного спектрального аналізу. Відмінні характеристики точності прогнозування дозволяють рекомендувати метод для використання в геодинамічних задачах.*

*ОЦЕНКА ТОЧНОСТИ И ПРОГНОЗ ПАРАМЕТРОВ ВРАЩЕНИЯ ЗЕМЛИ МЕТОДОМ СИНГУЛЯРНОГО СПЕКТРАЛЬНОГО АНАЛИЗА, Чолий В. Я. — Представлены результаты моделирования, оценка точности и прогноз рядов координат полюса и всемирного времени (UT1 – UTC) методом сингулярного спектрального анализа. Отличные характеристики точности прогнозирования позволяют рекомендовать метод для использования в геодинамических задачах.*

*PRECISION ESTIMATION AND FORECASTING OF THE EARTH ORIENTATION PARAMETERS WITH THE SINGULAR SPECTRUM ANALYSIS METHOD, by Choliy V. Ya. — Modeling results, precision estimations and forecasting of the pole coordinates and Universal time (UT1 – UTC) series with the Singular Spectrum Analysis method are presented. Excellent forecasting capabilities of the method allow us to recommend SSA for the use in geodynamic applications.*

**Вступ.** Опрацювання спостережень геодинамічних супутників чи віддалених радіоджерел для розв'язання геодинамічних задач регулярно приводить до необхідності прогнозування випадкових функцій чи полів (параметрів обертання Землі, метеорологічних параметрів, гло-

бального вмісту електронів тощо). Найчастіше така необхідність виникає для параметрів обертання Землі, точні значення яких бувають потрібні вже у процесі первинного опрацювання спостережень, а відомими стають з затримкою в години чи доби. Задача прогнозування, однак, має значення не тільки для геодинаміки. Можна говорити про десятки та сотні робіт, що стосуються прогнозування тих чи інших величин у науці та техніці.

Іншою, не менш важливою задачею, є оцінка величини шумів, наявних у рядах вимірних величин.

Одним з найновіших методів аналізу (та прогнозу) часових рядів і полів є метод сингулярного спектрального аналізу (SSA = Singular Spectrum Analysis), що базується на методі головних компонентів (PCA = Principal Component Analysis), який, у свою чергу, використовує спектральний розклад кореляційної матриці в суму сингулярних (SVD = Singular Value Decomposition) як математичну основу.

Теорію методу SSA викладено в роботах [4, 5], яких ми будемо дотримуватися, зберігаючи позначення величин та ставлячи перед собою завдання оцінити, наскільки якісним може бути прогноз координат полюса, зроблений цим методом. Метод є непараметричним і для отримання достовірного результату не потребує ніякої додаткової інформації про ряд чи його властивості.

Метод розкладення матриці за сингулярними числами (SVD) з точки зору обчислень детально аналізується у відомій роботі [3]. Використання методу до аналізу часових рядів та полів стало можливим завдяки теоремі Екхарта — Янга [2], яка стверджує, що розклад матриці у суму матриць рангу один є найкращою апроксимацією початкової матриці в смислі найменших квадратів. Одною з останніх відомих нам робіт, де використання SVD для наукових задач розглядається детально, є робота [6].

**Метод.** Зупинимось коротко на головних положеннях методу. Нехай  $X_N = (x_1, x_2, \dots, x_N)$  — ряд не обов'язково рівновіддалених точок;  $N$  — довжина ряду. Виберемо деяке число  $L$ :  $1 < L < N$  (довжина вікна) і знайдемо  $K = N - L + 1$ . Побудуємо траєкторну матрицю:

$$\mathbf{X} = (x_{ij}) = \begin{pmatrix} x_1 & x_2 & \dots & x_K \\ x_2 & x_3 & \dots & x_{K+1} \\ \dots & \dots & \dots & \dots \\ x_L & x_{L+1} & \dots & x_N \end{pmatrix} = [\mathbf{X}_1 : \mathbf{X}_2 : \dots : \mathbf{X}_K],$$

$$\mathbf{X}_i = (x_i, x_{i+1}, \dots, x_{i+L-1})^T.$$

Траєкторна матриця є ханкелевою: елементи на антидіагоналях рівні. Матриця, транспонована до траєкторної, теж буде траєкторною для того ж ряду. Між рядом та його траєкторною матрицею таким чином встановлюється взаємно однозначна відповідність: середнє значення елементів матриці вздовж антидіагонали рівне значенню ряду.

Побудуємо матрицю  $\mathbf{S} = \mathbf{X}\mathbf{X}^T$  і знайдемо всі її власні числа та власні вектори, ортогоналізуючи матрицю. Власні числа будуть дійсними, через те що  $\mathbf{S}$  — симетрична. Відсортуємо їх у порядку зменшення:

$$\lambda_1 \geq \lambda_2 \geq \dots \geq \lambda_d > 0 \geq \lambda_{d+1} \geq \dots \geq \lambda_L. \quad (1)$$

Знайти власні числа симетричної матриці можна, наприклад, методом Якобі, який дозволить знайти також і всі власні вектори. Похибки обчислень можуть привести до від'ємних, але такі власні числа матимуть дуже малі модулі і не зможуть серйозно вплинути на результати.

Позначимо через  $\mathbf{U}_i$  систему ортонормованих власних векторів. Вектор  $\mathbf{U}_i$  відповідає  $\lambda_i$ . Нехай тепер  $d = \text{rank}(\mathbf{X}) = \max(i, \lambda_i > 0)$  і є кількістю додатних власних чисел. Зазвичай  $d = L$ . Нехай також:

$$\mathbf{V}_i = \mathbf{X}^T \mathbf{U}_i / \sqrt{\lambda_i}, \quad i = 1, d.$$

Тоді розклад траєкторної матриці за сингулярними числами (SVD) буде мати такий вигляд:

$$\mathbf{X} = \mathbf{X}_1 + \dots + \mathbf{X}_d,$$

де

$$\mathbf{X}_i = \sqrt{\lambda_i} \mathbf{U}_i \mathbf{V}_i^T. \quad (2)$$

Усі матриці  $\mathbf{X}_i$  мають ранг одиниця. Трійки  $\sqrt{\lambda_i}$ ,  $\mathbf{U}_i$ ,  $\mathbf{V}_i$  називаються власними трійками. Звернемо увагу на те, що кожна з матриць  $\mathbf{X}_i$  є траєкторною матрицею якогось іншого ряду, який можна з цієї матриці відновити. (Тобто, віднайти такий ряд, який дав би саме таку траєкторну матрицю).

Якщо відновлені ряди демонструють спільні риси, то їхні матриці можна об'єднати в групи за ознакою схожості. Формалізацію цього поняття буде зроблено далі по тексту. Нехай таких груп  $m$ :

$$\mathbf{X} = \mathbf{X}_{I_1} \dots \mathbf{X}_{I_m}.$$

Однак ханкелевість групової траєкторної матриці може не виконуватись строго. Тому при відновленні ряду  $G = (g_1, g_2, \dots, g_N)$  з матриці  $\mathbf{Y} = (y_{ij})$  проводять її діагональне усереднення (ханкелізацію):

$$g_k = \begin{cases} \frac{1}{k} \sum_{m=1}^{k-1} y_{m, k-m}, & 1 \leq k \leq L, \\ \frac{1}{L} \sum_{m=1}^L y_{m, k-m}, & L < k \leq K, \\ \frac{1}{N} \sum_{m=k}^{N-K+1} y_{m, k-m}, & K < k \leq N. \end{cases}$$

Цей складний за зовнішнім виглядом вираз відповідає усередненню матричних елементів вздовж антидіагоналі  $i + j = k + 1$ . Тобто,  $g_1 =$

$= y_{11}$  при  $k = 1$ ,  $g_2 = (y_{21} \quad y_{12}) / 2$  при  $k = 2$  і т. п. Якщо таке діагональне усереднення провести для кожної з матриць  $\mathbf{X}_{I_k}$ , матимемо  $d$  послідовностей  $g$ . Початковий ряд буде їхньою сумою.

**Вибір параметрів.** Найскладніше питання — як розділити  $\mathbf{X}$  на групи, і який зміст вкладається у поняття «група». Нехай спочатку у виразі (3) кількість груп буде рівною  $d$ . Тобто, групування немає.

Проведемо діагональні усереднення для кожної з  $d$  матриць  $\mathbf{X}_i$ . Це дасть  $d$  рядів  $g^{(i)}$ ,  $i = 1, \dots, d$ . Знайдемо тепер коваріації для всіх можливих комбінацій  $g^{(i)}$  та  $g^{(j)}$  і згрупуємо воєдино ті  $g^{(i)}$ , що мають великі (відносно інших) взаємні коваріації. У статистиці якраз висока кореляція є формальним критерієм подібності.

Така постановка питання про групування має далекі наслідки, адже досить легко показати, що детерміновані (наприклад, гармонійні) та суто випадкові сигнали практично не мають шансів утворити великі кореляції, і тому мають опинитися в різних групах. Таким чином, сигнал можна розбити на групу (групи) детермінованих та групу (групи) випадкових сигналів, аналізуючи лише взаємні кореляції.

Що стосується вибору параметра  $L$ , то він суттєво залежить від очікуваного результату. Так, якщо йдеться про відновлення гармонійних компонентів ряду, то  $L$  має бути не меншим, ніж період найбільшого коливання, наявного в даних. Однак для задачі прогнозу ця величина може бути значно меншою, що суттєво зменшує кількість обчислень.

**Прогноз.** Дано:  $\mathbf{X}_N = (x_1, x_2, \dots, x_N)$  — ряд довжиною  $N > 2$ ,  $L$  — довжина вікна ( $1 < L < N$ );  $\mathbf{L}^r = \mathbf{R}^L$ ,  $r < L$  — деякий лінійний простір. Крім того, орт  $e_L = (0, 0, \dots, 1) \in \mathbf{R}^L$ ,  $\mathbf{L}^r$ ;  $M$  — число точок прогнозу.

Послідовність міркувань, що дозволяють отримати рекурентний прогноз, така:

1.  $\mathbf{X} = (\mathbf{X}_1 : \mathbf{X}_2 : \dots : \mathbf{X}_K)$ ,  $K = N - L + 1$  — траєкторна матриця для ряду  $\mathbf{X}_N$ ;

2.  $\mathbf{P}_1, \dots, \mathbf{P}_r$  — ортонормований базис  $\mathbf{L}^r$ ;

3.  $\hat{\mathbf{X}} = (\hat{\mathbf{X}}_1 : \hat{\mathbf{X}}_2 : \dots : \hat{\mathbf{X}}_K) \begin{matrix} r \\ \mathbf{P}_i \mathbf{P}_i^T \mathbf{X} \end{matrix}$  — ортогональна проекція

векторів  $\hat{\mathbf{X}}_i$  на  $\mathbf{L}^r$ ;

4.  $\tilde{\mathbf{X}} = (\tilde{\mathbf{X}}_1 : \tilde{\mathbf{X}}_2 : \dots : \tilde{\mathbf{X}}_K)$  — результат ханкелізації матриці  $\hat{\mathbf{X}}$ . Тепер  $\tilde{\mathbf{X}}$  є траєкторною матрицею деякого ряду  $\tilde{\mathbf{X}}_N = (\tilde{x}_1, \tilde{x}_2, \dots, \tilde{x}_N)$ ;

5.  $\mathbf{Y} \in \mathbf{R}^L$  позначимо через  $\mathbf{Y}$  вектор, що складається з останніх  $L - 1$  складових вектора  $\tilde{\mathbf{Y}}$ , а через  $\mathbf{Y}^*$  — вектор, що складається з перших  $L - 1$  його складових;

6.  $\mathbf{P}_i = (p_{i1}^2 \quad p_{i2}^2 \quad \dots \quad p_{ir}^2)$ , де  $p_{ir}^2$  — остання складова вектора  $\mathbf{P}_i$ .

Можна показати, що остання складова будь-якого вектора  $\mathbf{Y} = (y_1, y_2, \dots, y_L)^T \in \mathbf{L}^r$  є лінійною комбінацією його перших складових:

$$y_L = a_1 y_{L-1} + a_2 y_{L-2} + \dots + a_{L-1} y_1,$$

а вектор коефіцієнтів визначається з формули

$$\mathcal{R} = (a_{L-1}, a_{L-2}, \dots, a_2, a_1)^T \frac{1}{1 - \lambda^2} \mathbf{P}_i,$$

і не залежить від вибору базису. Рекурентно прогнозований ряд  $G_{N-M} = (g_1, g_2, \dots, g_{N-M})$  отримуємо, рекурентно продовживши початковий ряд:

$$g_i = \begin{cases} \tilde{x}_i, & i = 1, N, \\ \sum_{j=1}^{L-1} a_j g_{i-j}, & i = N-1, N-M. \end{cases}$$

Усе сказане для рекурентного прогнозу можна записати в операторному вигляді, ввівши оператор

$$\mathcal{R} \mathbf{Y} = \mathcal{R}^T \mathbf{Y}.$$

Поклавши

$$\mathbf{Z}_i = \begin{cases} \hat{\mathbf{X}}_i, & i = 1, \dots, K, \\ \mathcal{R} \mathbf{Z}_{i-1}, & i = K+1, \dots, K+M, \end{cases}$$

утворюємо матрицю  $\mathbf{Z} = (\mathbf{Z}_1, \mathbf{Z}_2, \dots, \mathbf{Z}_{K+M})$ , яка буде траекторною для прогнозованого ряду.

Для векторного прогнозу ситуація аналогічна, за виключенням того, що на останньому етапі будується матриця

$$\mathbf{V} = (\mathbf{V}_1, \mathbf{V}_2, \dots, \mathbf{V}_r) \mathcal{R} \mathcal{R}^T,$$

де

$$\mathbf{V}_i = (\mathbf{P}_1, \mathbf{P}_2, \dots, \mathbf{P}_r),$$

що, очевидно, має розмір  $(L-1) \times (L-1)$ . Введемо оператор

$$\mathcal{P} \mathbf{Y} = \mathcal{R}^T \mathbf{Y},$$

і знайдемо вектори

$$\mathbf{Z}_i = \begin{cases} \hat{\mathbf{X}}_i, & i = 1, \dots, K, \\ \mathcal{P} \mathbf{Z}_{i-1}, & i = K+1, \dots, K+M-L+1. \end{cases}$$

Тепер складаємо матрицю

$$\mathbf{Z} = (\mathbf{Z}_1, \mathbf{Z}_2, \dots, \mathbf{Z}_{K+M-L+1}),$$

яка є траекторною для прогнозованого ряду до  $N+M+K$ -ї точки.

**Аналіз та прогноз параметрів обертання Землі.** Матеріалом для аналізу послужив офіційний ряд параметрів обертання Землі, відомий як розв'язок C04 [<http://tai.bipm.org/iers/data>]. Він регулярно оновлюється IERS і містить для інтервалу часу від 01 січня 1962 р. добові дані для координат полюса, поправки  $UT1 - UTC$  та кутів нутації, разом з поправками до кутів  $dX, dY$  для врахування прецесії-нутації за новими рекомендаціями IERS (в так званій системі нерухомого почат-

ку). Для аналізу було відібрано 6-річний відтинок ряду починаючи з 01 січня 2001 р. На такому інтервалі вкладається як ціла кількість річних, так і ціла кількість чандлерових періодів.

Початкова рекомендація вибрати  $L = 435$ , що дорівнює чандлеровому періоду, виявляється дещо незручною через тривалий час обчислень. Чисельні експерименти, що ґрунтуються на поступовому зменшенні величини  $L$ , дозволяють стверджувати, що вона також надлишкова. Тому, виходячи з того, що задача визначення параметрів річного та чандлерового періоду не ставилась, було вибрано компромісне значення  $L = 90$  (три місяці), що виявилось дуже вдалим.

На рис. 1 показано величини логарифмів власних чисел траєкторної матриці, відсортованих у порядку їхнього зменшення (спектр власних чисел), для  $X$ -координати полюса, а на рис. 2 — частина кореляційної матриці для складових, на які розкладено  $X$ -координату полюса. Аналогічні рисунки для  $Y$ -координати полюса принципово не відрізняються, і тому не приводяться. Тут і надалі на всіх рисунках абсциса — це послідовний номер  $i$  точки ряду; нульова точка відповідає 01 січня 2001 р., крок складає одну добу. На рис. 2 абсциса та ордината є номером окремого виділеного ряду  $g^{(i)}$ . Значення кореляцій подано через градації сірого — від чорного (кореляція дорівнює одиниці) до білого (відсутність кореляцій).

З кореляційної матриці можна зробити висновок, що лише дві перші складові, що корелюють лише між собою, можна відділити у окрему групу, віднісши усі інші складові до другої групи. На рис. 3, *a* показано ряд  $x_i$  (позначено квадратиками у точках екстремумів) та окремо перші дві складові. Сума двох перших складових 1 і 2, накладена на ряд (рис. 3, *b*), не має видимих відхилень від ряду  $x_i$  (криві для ряду та суми зливаються). Сума 3 усіх інших головних складових має вигляд шумової доріжки із нульовим середнім.

Таке очевидне розділення ряду на дві групи головних компонентів дозволяє оцінити величину шуму. Перша група — це «корисна» частина сигналу, друга — шуми. Дисперсія шумової частини (групи), на наш погляд, є оцінкою точності значень ряду у випадковому відношенні.

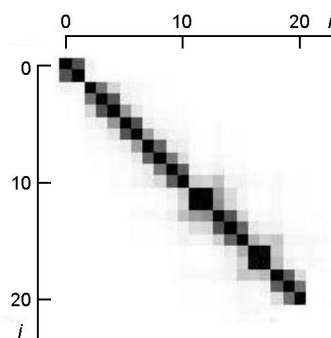
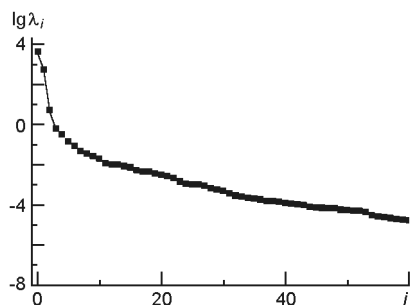


Рис. 1. Спектр власних чисел  $X$ -координати полюса ( $i$  — послідовний номер точки)

Рис. 2. Частина кореляційної матриці головних складових для  $X$ -координати полюса

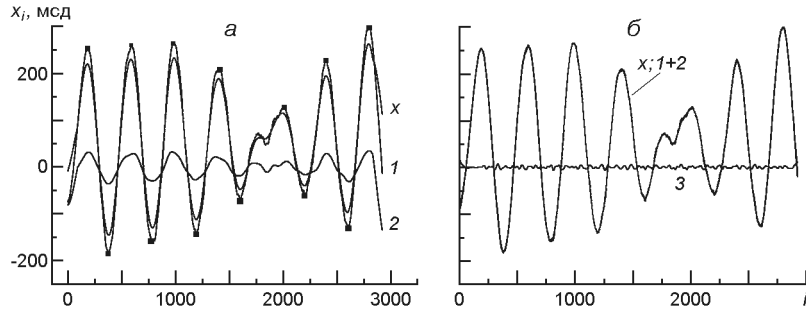


Рис. 3: а — ряд  $x$  та дві перші головні складові 1, 2; б — ряд  $x$ , сума двох перших складових (1+2) та сума усіх інших складових (3)

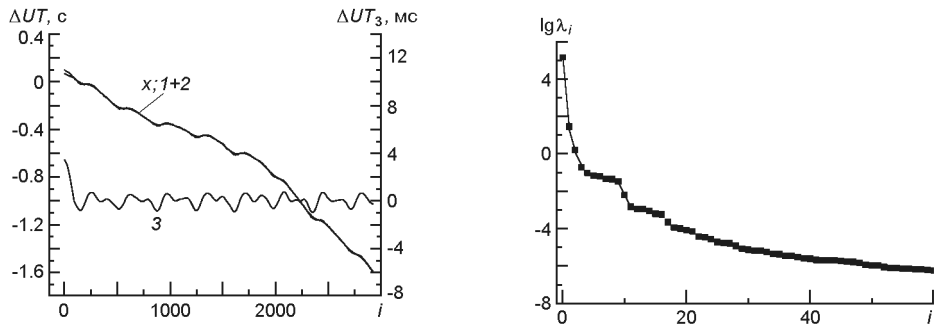


Рис. 4. Ряд  $UT = UT1 - UTC$  з накладеною сумою перших двох головних компонентів (гладка лінія) та третя складова (шкала справа)

Рис. 5. Спектр власних чисел ряду  $UT1 - UTC$

На рис. 4 та 5 показано ряд  $UT1 - UTC$  та його спектр власних чисел. Ряд  $UT1 - UTC$  є частиною того ж стандартного розв'язку C04, з якого брались координати полюса. «Корисна» частина ряду теж описується двома головними компонентами.

Для рядів координат полюса та  $UT1 - UTC$  середнє квадратичне відхилення шумових груп складає:

$$x = 2.78 \text{ мсд}, \quad y = 2.83 \text{ мсд}, \quad UT = 0.971 \text{ мс.}$$

Якість прогнозу можна оцінити з аналізу рис. 6 для координат полюса та рис. 7 для  $UT1 - UTC$ . На рис. 6, а та рис. 7, а показано кінцевий шматок ряду (помічений стрілкою) та прогнози, виконані рекурентним (суцільна лінія) та векторним способами (штрихова лінія). На рис. 6, б та рис. 7, б показано усереднену похибку отриманих прогнозних значень. На всіх рисунках кінець ряду і початок прогнозів має місце в точці 2922 (показана вертикальною рисою). Усереднену криву похибки прогнозу отримано шляхом повторення процедури аналіз-прогноз на даних розв'язку C04 упродовж року, зсуваючись щоразу на одну точку. На нашу думку, точність отриманих прогнозних величин цілком задовільна для попереднього прогнозу параметрів обертання Землі, і їх можна використовувати як набір початкових значень під час опрацювання спостережень супутників.

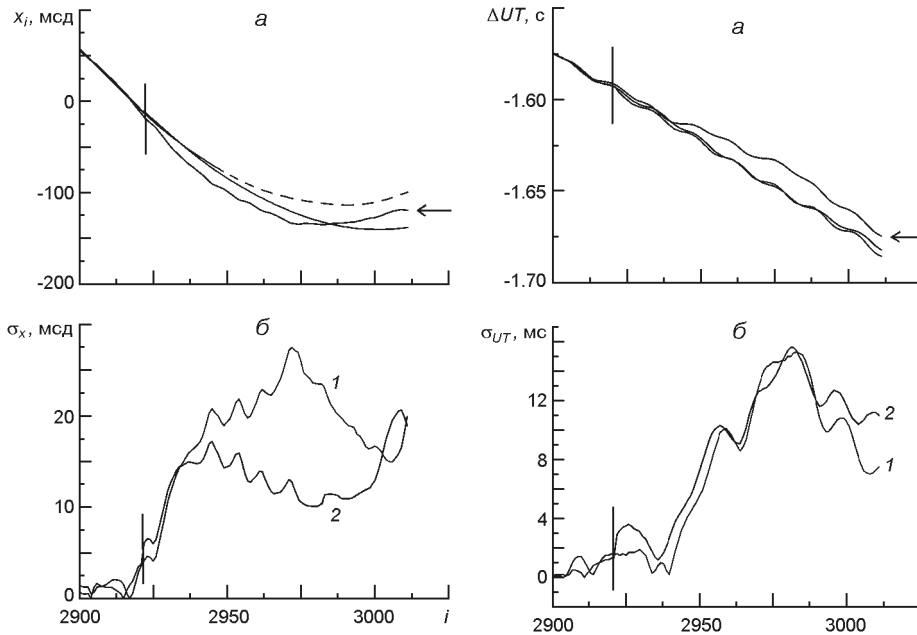


Рис. 6. Прогнозні значення (а) та усереднена похибка прогнозу (б) для  $x$ -координати полюса: крива 1 — векторний спосіб, 2 — рекурентний спосіб

Рис. 7. Те ж для  $UT1 - UTC$

**Висновки.** Метод сингулярного спектрального аналізу можна успішно використовувати для аналізу точності та прогнозу параметрів обертання Землі в геодинамічних програмах. При цьому слід зауважити, що хоч метод може використовуватися для спектрального аналізу, область його використання значно ширша. Оригінальність методу полягає в тому, що віднайдені головні компоненти зовсім не обов'язково є чистими гармонійними коливаннями, навіть якщо в ряді вони насправді є. Більше того, відновлювати параметри річного, чандлерового та інших коливань для прогнозу і не потрібно. Головною складовою буде хвильова форма (waveform), що відтворює періодичну частину ряду. Це можна вважати перевагою SSA, наприклад, над фур'є-аналізом. Гармонійне модульоване (амплітудно чи частотно) коливання можна відновити за допомогою SSA в вигляді однієї головної складової, тоді як перетворення Фур'є дасть набір гармонік, розібратись в якому може бути непросто.

Другою важливою особливістю SSA слід вважати його здатність оцінювати шумову складову ряду чи каталогу. Зазвичай для порівняння каталогів використовується перетворення Гельмерта [1]. При цьому оцінки точності у випадковому відношенні отримуються в результаті спільної обробки кількох наборів даних. Тобто, оцінки точності залежать від того, які дані беруть участь у порівнянні і яку модель систематичних похибок було використано. В SSA ряд аналізується окре-



мо від інших рядів, і тому отримані оцінки точності можуть вважатися «абсолютними» і не залежними від інших рядів. Єдиним вузьким місцем є складність правильного вибору ширини вікна, що завжди було непростим для спектрального аналізу.

Отримані в роботі оцінки точності ряду C04 добре узгоджуються з офіційними величинами IERS. Точність прогнозів теж цілком задовільна для вибраної довжини вікна, що дозволяє рекомендувати метод для використання у геодинамічних програмах.

1. *Choliy V. Ya.* On the extension of Helmert transform // *Adv. Astron. and Space Phys.*—2014.—**4**.—P. 3—19.
2. *Eckart C., Young G. A.* Principal axis transformation for non-Hermitian matrices // *Bull. Amer. Math. Soc.*—1939.—**45**.—P. 118—121.
3. *Golub G., van Loen G.* Matrix computations. — Baltimore: John Hopkins Press, 2013.—780 p.
4. *Golyandina N., Nekrutkin V., Zhigljavsky A.* Analysis of time series structure. — New York: Chapman, 2001.—310 p.
5. *Golyandina N., Zhigljavsky A.* Singular spectrum analysis for time series. — Berlin: Springer, 2013.—125 p.
6. *Henry E. R., Hofrichter J.* Singular value decomposition; application to analysis of experimental data // *Essential Numerical Computer Methods* / Ed. by M. Johnson. — Oxford: Elsevir, 2013.—P. 81—140.

Стаття надійшла до редакції 29.05.14